



Gorgan University of Agricultural
Sciences and Natural Resources



The effect of different classification levels and topography on potassium status of Sepidan soils, Fars province

Sayyed Mahmoud Enjavinezhad^{*1}, Majid Baghernejad², Seyed Ali Abtahi³,
Reza Ghasemi-Fasaei⁴, Mehdi Zarei⁵

1. Corresponding Author, Ph.D. Student of Management of Soil Resources, Dept. of Soil Science, University of Shiraz, Shiraz, Iran.
E-mail: enjavimahmoud@gmail.com

2. Professor, Dept. of Soil Science, University of Shiraz, Shiraz, Iran. E-mail: majidbaghernejad@yahoo.co.uk

3. Professor, Dept. of Soil Science, University of Shiraz, Shiraz, Iran. E-mail: seyedaliabtahi@yahoo.com

4. Professor, Dept. of Soil Science, University of Shiraz, Shiraz, Iran. E-mail: ghasemif@shirazu.ac.ir

5. Associate Prof., Dept. of Soil Science, University of Shiraz, Shiraz, Iran. E-mail: mehdizarei@shirazu.ac.ir

Article Info	ABSTRACT
Article type: Full Length Research Paper	Background and Objectives: The soil characteristics of each region are affected by the topography factor. This factor has direct and indirect effects on the physicochemical properties of soil and even nutrient concentrations. Potassium is one of the most important elements in plant nutrition and is the second major nutrient absorbed by plants. Potassium exists in the soil in four forms, including soluble, exchangeable, non-exchangeable and structural. Many studies conducted on different potassium forms in relation with mineralogy, soil characteristics and classification, climate, and especially topography, but investigating the effect of different physiographic units and different levels of classification had been neglected. Therefore, this study was aimed to investigate the effect of different levels of classification and topography (physiographic units) on the potassium status of Sepidan soils in Fars province.
Article history: Received: 08.26.2022 Revised: 02.14.2023 Accepted: 02.19.2023	
Keywords: Classification levels, Potassium forms, Soil evolution, Topography	
	Materials and Methods: In order to investigate the effect of topography on the potassium status of Sepidan soils in Fars province, toposequence was applied in Sepidan region of Fars province. After digging and describing the selected profiles in each identified physiographic unit, samples were taken and physical and chemical properties of soils were measured by conventional methods. The different forms of potassium were measured by summary method; and using SPSS16 statistical software and LSD statistical test, the significance of differences in the amount of different forms of potassium were determined at different classification levels and different physiographic units.
	Results: Investigation of studied pedons showed that soils were classified as Entisols, Inceptisols and Alfisols based on 2014 taxonomy classification system. Three suborders, four great groups and subgroups were identified. In the study area, soluble, exchangeable, non-exchangeable, structural and total potassium had a mean of 0.96, 279, 510, 3792 and 4583 mg kg ⁻¹ , respectively. The mean of soluble, exchangeable, non-exchangeable, structural forms and total potassium related to different physiographic units were reported 0.73, 421, 1360, 1405, 15833 mg kg ⁻¹ in the colluvial-alluvial fan, 1.21, 236, 565, 2803 and 3603 in piedmont plain, 0.76, 352, 436, 2071, 2860 mg kg ⁻¹ in flood plain, 0.73, 270, 372, 2249, 2893 mg kg ⁻¹ in river terrace, 0.91, 321, 656, 2541, 3520 mg kg ⁻¹ in alluvial plain and

1.17, 172, 88, 2292, 2554 mg kg⁻¹, respectively. Total potassium and also different forms of potassium except soluble potassium in different physiographic units were significantly different from each other ($P<0.05$). In relation to the effect of different classification levels, there were significant differences ($P<0.05$) between exchange and non-exchange forms in all the studied levels

Conclusion: The present study showed that topography in the form of different physiographic units by controlling the amount of humidity, received sunlight and also the speed of weathering lead to differences in physicochemical properties and classification of soil. The set of these factors led to observe significant differences in the amount of different forms of potassium in different physiographic units. Due to the lack of application of very significant differences in different classification levels up to the subgroup level, it is suggested that for having better monitoring of the potassium element to obtain sustainable agriculture, at least the classification of soils at the family level should be performed so that the differences are better understood. Also, it is worth mentioning that the type of parent material, climate, topography and other environmental conditions can affect the accuracy of the study in different areas, which should not be neglected when choosing the accuracy of the study.

Cite this article: Enjavinezhad, Sayyed Mahmoud, Baghernejad, Majid, Abtahi, Seyed Ali, Ghasemi-Fasaei, Reza, Zarei, Mehdi. 2023. The effect of different classification levels and topography on potassium status of Sepidan soils, Fars province. *Journal of Soil Management and Sustainable Production*, 13 (1), 75-93.



© The Author(s).

DOI: 10.22069/EJSMS.2023.20544.2071

Publisher: Gorgan University of Agricultural Sciences and Natural Resources



اثر سطوح مختلف رده‌بندی و پستی و بلندی بر وضعیت پتاسیم خاک‌های سپیدان استان فارس

سید محمود انجوی نژاد^{*}، مجید باقر نژاد^۱، سید علی ابطحی^۲، رضا قاسمی فساوی^۳، مهدی زارعی^۴

۱. نویسنده مسئول، دانشجوی دکتری تخصصی مدیریت منابع خاک، گروه علوم خاک، دانشگاه شیراز، شیراز، ایران.

رایانامه: enjavimahmoud@gmail.com

۲. استاد گروه علوم خاک، دانشگاه شیراز، شیراز، ایران. رایانامه: majidbaghernejad@yahoo.co.uk

۳. استاد گروه علوم خاک، دانشگاه شیراز، شیراز، ایران. رایانامه: seyedaliabtahi@yahoo.com

۴. استاد گروه علوم خاک، دانشگاه شیراز، شیراز، ایران. رایانامه: ghasemif@shirazu.ac.ir

۵. دانشیار علوم خاک، دانشگاه شیراز، شیراز، ایران. رایانامه: mehdizarei@shirazu.ac.ir

اطلاعات مقاله چکیده

نوع مقاله:

مقاله کامل علمی- پژوهشی

تاریخ دریافت: ۱۴۰۱/۰۷/۰۴

تاریخ ویرایش: ۱۴۰۱/۱۱/۲۵

تاریخ پذیرش: ۱۴۰۱/۱۱/۳۰

واژه‌های کلیدی:

پستی و بلندی،

تکامل خاک،

سطوح رده‌بندی،

شکل‌های پتاسیم

سابقه و هدف: مشخصات خاک‌های هر منطقه متأثر از عامل پستی و بلندی است. این عامل

اثرات مستقیم و غیرمستقیمی بر ویژگی‌های فیزیکی و شیمیایی خاک و حتی غلظت عناصر

غذایی دارد. پتاسیم از جمله عناصر مهم در تغذیه گیاهان است و دومین ماده غذایی عمدۀ

جذب شده توسط گیاهان است. پتاسیم در خاک به چهار شکل محلول، تبادلی، غیرتبادلی و

ساختمانی وجود دارد. پژوهش‌های گستردۀ ای بر روی شکل‌های مختلف پتاسیم در ارتباط با

کانی‌شناسی، اقلیم، ویژگی‌های خاک، رده‌بندی خاک و بهطور ویژه پستی و بلندی صورت

گرفته است اما بررسی اثر جدگانه واحدهای مختلف فیزیوگرافی و سطوح مختلف رده‌بندی

فراموش شده است. بنابراین هدف از این پژوهش بررسی اثر سطوح مختلف رده‌بندی و پستی

و بلندی (واحدهای فیزیوگرافی) بر وضعیت پتاسیم خاک‌های سپیدان استان فارس بود.

مواد و روش‌ها: به منظور تعیین اثر سطوح مختلف رده‌بندی و پستی و بلندی بر وضعیت پتاسیم

خاک‌های سپیدان استان فارس، یک ردیف پستی و بلندی در منطقه سپیدان استان فارس اعمال

گردید. پس از حفر و تشرییح نیم‌رخ انتخابی در هر واحد فیزیوگرافی شناسایی شده و انجام

نمونه‌برداری، ویژگی‌های فیزیکی و شیمیایی خاک به روش‌های معمول اندازه‌گیری شدند. شکل‌های

مختلف پتاسیم به روش اجمالی برآورد گردید و با استفاده از نرم‌افزار آماری SPSS16 و آزمون

آماری LSD معنی‌داری تفاوت شکل‌های مختلف پتاسیم در سطوح مختلف رده‌بندی و واحدهای

مختلف فیزیوگرافی سنجیده شد.

یافته‌ها: بررسی خاکرخ‌های مطالعاتی نشان داد که خاک‌ها در راسته‌های انتی‌سول، اینسپیتی‌سول و آلفی‌سول با توجه به سیستم طبقه‌بندی تاکسونومی ۲۰۱۴ قرار گرفتند. تعداد سه زیر راسته، چهار گروه بزرگ و زیرگروه شناسایی شدند. در منطقه مطالعاتی پتاویم محلول، تبادلی، غیرتبادلی، ساختمانی و کل به ترتیب دارای میانگین ۰/۹۶، ۰/۷۹، ۵/۱۰، ۳/۷۹۲ و ۴۵۸۳ میلی‌گرم بر کیلوگرم بودند. میانگین شکل‌های پتاویم محلول، تبادلی، غیرتبادلی، ساختمانی و پتاویم کل مرتبط با واحدهای مختلف فیزیوگرافی به ترتیب ۰/۷۳، ۰/۷۳، ۱/۲۱، ۱۳۶۰، ۱۴۰۵، ۱۵۸۳۳ میلی‌گرم بر کیلوگرم در واریزه‌های بادبرنی نقلی-آبرفتی، ۱/۲۱، ۲۳۶، ۵/۶۵، ۲۸۰۳ و ۳۶۰۳ در دشت دامنه‌ای، ۰/۷۶، ۳/۵۲، ۴/۳۶، ۲/۰۷۱، ۲۸۶۰ میلی‌گرم بر کیلوگرم در دشت سیلانی، ۰/۷۳، ۳/۷۲، ۳/۷۲، ۲/۲۴۹، ۲/۸۹۳ میلی‌گرم بر کیلوگرم در تراس رودخانه‌ای، ۰/۹۱، ۶/۵۶، ۳/۲۱، ۲/۵۴۱ میلی‌گرم بر کیلوگرم در دشت رسوبی و ۱/۱۷، ۱/۷۲، ۸/۸، ۲/۲۹۲ میلی‌گرم بر کیلوگرم گزارش شد. پتاویم کل و هم‌چنین شکل‌های مختلف پتاویم به جز پتاویم محلول در واحدهای مختلف فیزیوگرافی با یکدیگر تفاوت معنی‌دار ($P < 0.05$) داشتند. در رابطه با اثر سطوح مختلف رده‌بندی، در تمامی سطوح مورد بررسی شکل‌های تبادلی و غیرتبادلی دارای تفاوت معنی‌دار ($P < 0.05$) بودند.

نتیجه‌گیری: مطالعه حاضر نشان داد که پستی و بلندی در قالب واحدهای مختلف فیزیوگرافی با کنترل میزان رطوبت، تابش خورشید دریافت شده و هم‌چنین سرعت هوادیدگی به ایجاد تفاوت‌هایی در ویژگی‌های فیزیکوشیمیایی و رده‌بندی خاک منجر شود. مجموعه این عوامل سبب مشاهده تفاوت‌های معنی‌دار در میزان شکل‌های مختلف پتاویم در واحدهای مختلف فیزیوگرافی شد. به دلیل عدم کاربرد اختلافات بسیار فاحش در سطوح مختلف رده‌بندی تا سطح زیرگروه پیشنهاد می‌گردد که به منظور پایش بهتر عنصر پتاویم برای دستیابی به کشاورزی پایدار حداقل از طبقه‌بندی خاک‌ها در سطح فامیل استفاده نمود تا تفاوت‌ها بهتر درک شود. هم‌چنین لازم به ذکر است که نوع ماده مادری، اقلیم، توپوگرافی و دیگر شرایط محیطی می‌تواند بر میزان دقیق مطالعه در مناطق مختلف اثر بگذاردند که آن‌ها را نباید در هنگام انتخاب میزان دقیق مطالعه فراموش نمود.

استناد: انجوی‌نژاد، سید محمود، باقرنژاد، مجید، ابطحی، سید علی، قاسمی فسایی، رضا، زارعی، مهدی (۱۴۰۲). اثر سطوح مختلف رده‌بندی و پستی و بلندی بر وضعیت پتاویم خاک‌های سپیدان استان فارس. نشریه مدیریت خاک و تولید پایدار، ۱۳ (۱)، ۹۳-۷۵.

DOI: 10.22069/EJSMS.2023.20544.2071



© نویسنده‌گان.

ناشر: دانشگاه علوم کشاورزی و منابع طبیعی گرگان

در قرن هفدهم برای نخستین بار در هلند^۳ به عنوان یک ماده غذایی مهم برای گیاهان شناخته شد که سبب شد پتاسیم (K) نیز به عنوان یک عنصر مهم برای رشد گیاه معرفی گردد (۱۰). پتاسیم از جمله عناصر مهم در تغذیه گیاهان است و بعد از نیتروژن دومین ماده غذایی عمدۀ جذب شده توسط گیاهان است (۱۱). هم‌چنین می‌توان بیان نمود که پتاسیم فراوان‌ترین عنصر موجود در خاک می‌باشد که با توجه به ویژگی‌های فیزیکوشیمیابی خاک مقادیر آن از مکانی به مکان دیگر در خاک تغییر می‌کند (۱۲). این واقعیت در انتقال محصولات فتوستتزی و انرژی به گیاه، تحریک رشد لگومها و در دسترس بودن عناصری مانند پتاسیم و نیتروژن نقشی اساسی را بازی می‌کند (۱۳ و ۱۴). پتاسیم به بهبود فتوستتز، کترل باز شدن روزنه‌ها، بهبود استفاده از نیتروژن و افزایش انتقال برای افزایش عملکرد محصول کمک می‌کند (۱۵). این عنصر در خاک به چهار شکل محلول، تبادلی، غیرتبادلی و پتاسیم کل یافت می‌شود (۱۶). توزیع این شکل‌ها در عمق و فضای خاک وابسته به برخی از عوامل مهم محیطی و خاکی متفاوت است (۱۷). در بین شکل‌های مختلف پتاسیم واکنش‌های تعادلی پویایی وجود دارد که آزادسازی و یا تثبیت آن را با توجه ویژگی‌ها و فرآیندهای بیوژئوشیمیابی کترل می‌کند (۱۸). عوامل زراعی- زیست‌محیطی مذکور شامل ماده مادری خاک، درجه هوادیدگی خاک، توپوگرافی، و تعادل مواد غذایی می‌باشد (۱۹، ۲۰، ۲۱ و ۲۲). مناطق خاصی از جهان، مانند استرالیا، چین و ایران به دلیل شرایط خاص اقلیمی یا کوددھی طولانی‌مدت کمبود پتاسیم در محصولات زراعی را در مناطق وسیع نشان می‌دهند، در حالی که پتاسیم فراوانی طبیعی در خاک‌ها دارد (۱۵، ۲۳، ۲۴). با این حال در اروپا با وجود گزارش‌های کمبود یا

مقدمه

تغییرات خاک‌های یک زمین‌نما با توجه به اقلیم، موجودات زنده، ماده مادری، پستی و بلندی و زمان صورت می‌پذیرد (۱). مشخصات خاک‌های هر منطقه متأثر از عامل پستی و بلندی است. این عامل شامل پیکره‌بندی سطح زمین است که خود شکل کلی و تفاوت در ارتفاع موقعیت‌ها را شامل نیز می‌شود (۲). در مناطقی که پستی و بلندی متأثر از عامل پستی و بلندی است، چندین آزمایش فیزیکی، شیمیابی و کانی‌شناسی خاک به منظور مشخصه‌سازی خاک و بررسی پیدایش آن صورت می‌پذیرد (۳ و ۴). به طور کلی پستی و بلندی می‌تواند در سطح گروه بزرگ و سری رده‌بندی خاک‌های یک منطقه را تحت تأثیر قرار دهد (۵). تفاوت در موقعیت هیدرولوژی و ویژگی‌های خاک ممکن است به علت اختلاف کمی در ارتفاع (چند متر) صورت پذیرد. این ویژگی‌ها با تأثیر غیرمستقیم روی چگونگی تابش خورشید، چگونگی آب و هوا، بارش و باد، توسعه و تکامل خاک را نیز تحت تأثیر قرار می‌دهند (۶). پستی و بلندی خاک همانند سایر عوامل تشکیل‌دهنده خاک ارتباط بسیار نزدیکی با ویژگی‌های خاک دارند. بنابراین به منظور تشخیص ویژگی‌های خاک شکل ناپیوستگی‌های سطح زمین می‌توان از آن به عنوان بهترین شاخص یاد کرد (۷). به همین جهت اثرات مستقیم و غیرمستقیمی بر خصوصیات فیزیکی و شیمیابی خاک از جمله درصد رس، ماده آلی، واکنش خاک، کربنات‌کلسیم، کانی‌شناسی، میزان رطوبت رنگ و حتی غاظت عناصر غذایی مانند فسفر و آهن مشهود خواهد بود (۸). بررسی اثر موقعیت‌های پستی و بلندی مختلف بر ویژگی‌های خاک در هند نشان داد که مقادیر رس، نیتروژن، پتاسیم و فسفر در دسترس بالاتری در اراضی پست نسبت به موقعیت‌های میانی و اراضی مرتفع وجود دارد (۹).

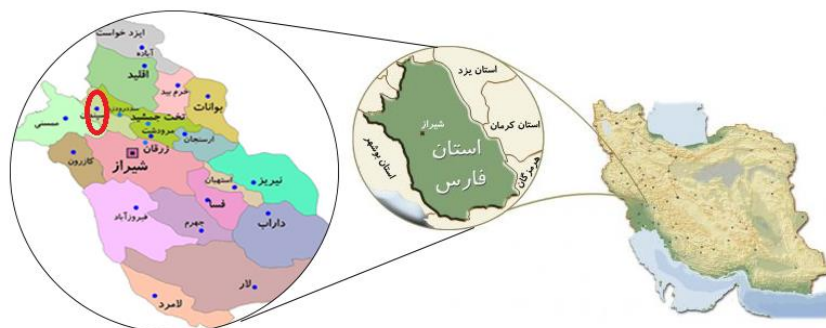
مواد و روش‌ها

استان فارس با مساحتی در حدود ۱۲۲۶۰۸ کیلومترمربع در جنوب ایران واقع شده است. سپیدان با وسعت ۲۸۴۶ کیلومترمربع از شهرستان‌های مهم استان فارس در تامین محصولات زراعی و باغی است و رژیم حرارتی و رطوبتی آن به ترتیب مزیک و زریک می‌باشد. ردیف پستی و بلندی مورد مطالعه در این شهرستان در موقعیت جغرافیایی ۳۰ درجه و ۱۱ دقیقه ۳۶/۸۶ ۴۹/۳۴ ثانیه شمالی تا ۳۰ درجه ۱۲ دقیقه ۳۶ ثانیه شمالی و ۵۲ درجه و ۱ دقیقه ۲۴/۵۸ ثانیه شرقی تا ۵۲ درجه ۲ دقیقه ۵۳/۵۳ ثانیه شرقی بود و بر روی آن تعداد ۸ خاکرخ حفر گردید (شکل ۱). تشریح نیمرخ خاک بر اساس راهنمای تشریح خاک صورت پذیرفت (۳۲) و از افق‌های مشخصه به میزان کافی نمونه خاک برداشته و پس از انتقال به آزمایشگاه، نمونه‌ها هوا خشک شدند و از الک ۲ میلی‌متری جهت بررسی‌های بعدی عبور داده شد. به منظور انجام آزمایش‌های فیزیکی و شیمیایی خاک، توزیع اندازه ذرات خاک به روش هیدرومتر (۳۳) برآورد شد. کربنات کلسیم معادل (CCE) توسط خنثی‌سازی با اسید هیدروکلریدیک (۳۴) و کربن آلی (O.C) به روش اکسیداسیون تر (۳۵) اندازه‌گیری شدند. پهاش و قابلیت هدایت الکتریکی خاک به ترتیب در گل اشیاع و عصاره تهیه شده از آن و ظرفیت تبادل کاتیونی (CEC) به روش جایگزینی کاتیون‌های قابل تبادل با استات سدیم برآورد شدند (۳۶). محتوای پتاسیم حاضر در شکل‌های مختلف با استفاده از روش‌های اجمالی به شرح زیر اندازه‌گیری شد (۳۷): پتاسیم محلول با استفاده از تعليق ۱:۵ (آب: خاک) عصاره‌گیری شد. جهت اندازه‌گیری پتاسیم تبادلی از عصاره‌گیر استات آمونیوم ۱ نرمال پهاش ۷ استفاده شد. مقدار پتاسیم تبادلی پس از کسر مقدار پتاسیم محلول از مقدار پتاسیم استخراج شده توسط استات آمونیوم محاسبه گردید. پتاسیم غیرتبادلی پس از کسر

کاهش پتاسیم خاک در مقیاس منطقه‌ای به ویژه در کشورهای اطراف دریای بالتک و انگلستان کمود آن گسترده نیست (۲۵ و ۲۶). تغییرات قابل توجهی در شکل‌های پتاسیم کل، غیرتبادلی و تبادلی در امتداد موقعیت‌های مختلف پستی و بلندی شب خاک توسط هوادیدگی کانی‌ها و شرایط ژئومورفولوژیکی صورت می‌پذیرد (۲۷). در همین راستا، مطالعه تأثیر کاربری زمین بر روی شکل‌های مختلف پتاسیم خاک در نیجریه نشان داد که مقدار پتاسیم کل، غیرتبادلی، تبادلی، محلول و همچنین پهاش در موقعیت‌های پستی و بلندی از موقعیت‌های فوقانی به میانی به پایین تغییر می‌کند (۲۸). نجفی قیری و همکاران (۲۹) با بررسی ارتباط رده‌بندی خاک و میزان ذخیره پتاسیم بیان داشتند هیستوسول‌ها و انتی‌سول‌های درشت بافت کم‌ترین و آلفی‌سول‌ها و ورتی‌سول‌ها بیشترین مقدار ذخیره پتاسیم را دارند. مشاهده تفاوت در ویژگی‌های شیمیایی مانند پتاسیم غیرتبادلی در دو راسته خاک اینسپیتی‌سول و آلفی‌سول که به ترتیب بر روی یک دشت مرتفع و دشت دامنه‌ای قرار گرفته بودند نیز مهر تأییدی بر این ادعای است (۳۰). مطالعه ارتباط شکل‌های مختلف پتاسیم با تکامل خاک در برخی خاک‌های استان فارس نشان داد که خاک‌های دارای تکامل بیشتر، بیشترین مقدار در تمام شکل‌های مختلف پتاسیم به جز پتاسیم محلول را نسبت به خاک‌های دارای تکامل کمتر دارند (۳۱). بنابراین با توجه به تغییر ویژگی‌ها و رده‌بندی خاک با عامل پستی و بلندی، اهمیت پتاسیم به عنوان یک عنصر پرمصرف در تغذیه گیاهان و همچنین سابقه کشاورزی در منطقه سپیدان استان فارس، هدف از انجام این مطالعه بررسی اثر سطوح مختلف رده‌بندی و پستی و بلندی بر وضعیت پتاسیم خاک‌های منطقه سپیدان استان فارس می‌باشد.

در انتها میزان پتاسیم با دستگاه شعله‌سنج مدل Jenway PFP7 قرائت شد. تمامی تجزیه و تحلیل آماری توسط نرم‌افزار SPSS16 صورت پذیرفت. همچنین مقایسه میانگین شکل‌های مختلف پتاسیم در رابطه با سطوح مختلف رده‌بندی و پستی و بلندی یا استفاده از آزمون آماری LSD صورت پذیرفت.

مقدار پتاسیم عصاره‌گیری شده توسط اسید نیتریک جوشان از پتاسیم عصاره‌گیری شده توسط استات آمونیوم محاسبه گردید. برای اندازه‌گیری پتاسیم کل از محلول تیزآب سلطانی جهت عصاره‌گیری استفاده شد. پتاسیم ساختمانی نیز توسط کسر مقدار پتاسیم تمامی عصاره‌ها از مقدار پتاسیم کل محاسبه گردید.



شکل ۱- منطقه مطالعه‌ی.

Figure 1. Study area.

شوری در خاک‌ها به‌دلیل شستشوی املاح محلول می‌باشد که وابسته به بارندگی مناسب در منطقه مورد مطالعه است. بنابراین بیشترین میزان این خصوصیت خاک در افق‌های پایینی خاکرخ‌های مورد مطالعه مشاهده شد. درصد کربنات کلسیم خاک در دامنه بین ۶۷/۸۶-۲۹/۸۴ با میانگین ۵۲/۹۹ درصد متغیر بود که نمایانگر آهکی بودن خاک‌های مورد مطالعه بود و این خصوصیت خاک در اکثر خاکرخ‌های مورد مطالعه با افزایش عمق روند افزایشی داشت. درصد کربن آلی در بازه ۱۷-۰/۰۵ با میانگین ۴۳/۰ درصد قرار گرفت. ظرفیت تبادل کاتیونی منطقه مورد مطالعه کم بوده و در حدود ۸/۶۴ تا ۱۹/۲۲ با میانگین ۱۴/۷۲ سانتی‌مول بار بر گیلوگرم بوده که با کم بودن میزان رس فعال و کربن آلی همخوانی دارد. خاک‌های مورد مطالعه در این منطقه طبق رده‌بندی تاکسونومی در راسته‌های انتی‌سول^۱, اینسپتی‌سول^۲ و آلفی‌سول^۳ قرار گرفتند.

نتایج و بحث

بررسی تکامل خاک‌های مورد مطالعه: در شهرستان سپیدان تعداد ۸ خاکرخ مورد بررسی قرار گرفت (جدول ۱). واحدهای فیزیوگرافی مورد بررسی با استفاده تصاویر ماهواره‌ای نرم‌افزار Google Earth و نقشه‌های توپوگرافی با مقیاس ۱:۵۰۰۰۰ از اساس اختلاف در میزان شب و ارتفاع، شناسایی شد که شامل واریزهای بادبزنی تقلیل‌آبرفتی، دشت دامنه‌ای، دشت رسوبی، دشت سیلانی، تراس رودخانه‌ای، تپه می‌باشند. بافت خاک متوسط منطقه لوم رسی بوده که با توجه به فیزیوگرافی منطقه ممکن است همچنین درجه تکامل خاک و آبشویی خاک، بافت‌های لوم، لوم شنی یا لوم سیلتی رسی در خاکرخ‌ها مشاهده گردد. پهاش خاک‌ها به دلیل بارندگی خوب منطقه مطالعاتی خشی تا کمی قلیابی و در گستره ۷/۲۸-۷/۶ با میانگین ۷/۳۷ قرار دارد که تغییرات این ویژگی خاک با عمق نامنظم می‌باشد. قابلیت هدایت الکتریکی خاک‌ها در گستره ۰/۳۸-۰/۲۶ با میانگین ۰/۵۲ دسی‌زیمنس بر متر قرار دارد که بیانگر عدم وجود مسأله

1- Entisols
2- Inceptisols
3- Alfisols

جدول ۱- ویژگی‌های فیزیکوشیمیابی خاک‌رخ‌های مطالعاتی و طبقه‌بندی آن‌ها بر اساس رده‌بندی تاکسونومی ۲۰۱۴ (۳۲).

Table 1. Physicochemical properties of studied soil profiles and their classification based on taxonomy 2014 (32).

افق Horizon	عمق Depth (cm)	کلاس بافتی Textural class	رس Clay (%)	شن Sand (%)	سیلت Silt (%)	آلی O.C (%)	کربن معادل CCE (%)	کربنات کلسیم معادل CEC (%)	ظرفیت تابدال کاتیونی CEC (cmol ₍₊₎ .kg ⁻¹)	قابلیت هدایت کلریکی EC (dS/m ⁻¹)	پهاش pH
۱ / خاک‌رخ / Profile 1: Typic Haploxerepts											
واریزه بادبزنی نقلی - آبرفتی / Physiographic unit: Colluvial-alluvial fan / واحد فیزیوگرافی											
A	0-22	Clay loam	27.80	23.00	49.20	2.53	22.32	18.74	0.47	7.3	
Bw	22-45	Silty clay loam	36.70	19.50	43.80	0.58	20.90	20.46	0.43	7.37	
C	45-80	Clay loam	36.70	23.00	40.30	0.58	19.33	22.4	0.40	7.36	
۲ / خاک‌رخ / Profile 2: Typic Haploxerepts											
دشت دامنه‌ای / Physiographic unit: Piedmont plain / واحد فیزیوگرافی											
Ap	0-15	Loam	24.20	33.70	42.10	2.53	36.66	17.66	0.69	7.6	
Bw	15-35	Clay loam	27.80	24.80	47.40	1.07	44.18	15.04	0.53	7.22	
Cr	35-65	Clay loam	33.10	30.10	36.80	0.78	29.14	19.10	0.56	7.25	
۳ / خاک‌رخ / Profile 3: Mollic Haploxeralfs											
دشت رسوبی / Physiographic unit: Alluvial plain / واحد فیزیوگرافی											
A	0-15	Clay loam	27.80	24.80	47.40	1.65	26.32	17.20	0.47	7.34	
Bt	15-45	Clay loam	36.70	21.20	42.10	0.87	15.50	22.46	0.39	7.37	
Cr	45-80	Clay loam	33.10	28.40	38.50	0.87	15.50	18.28	0.41	7.39	
۴ / خاک‌رخ / Profile 4: Typic Haploxerepts											
دشت سیلانی / Physiographic unit: Flood plain / واحد فیزیوگرافی											
A	0-15	Clay loam	27.80	42.60	29.60	2.92	32.43	20.44	0.57	7.35	
Bw	15-40	Loam	26.00	43.00	31.00	0.78	53.58	16.56	0.40	7.51	
C	40-65	Clay loam	27.80	40.80	31.40	0.39	52.64	14.68	0.43	7.34	
۵ / خاک‌رخ / Profile 5: Typic Haploxerepts											
تراس رودخانه‌ای / Physiographic unit: River trace / واحد فیزیوگرافی											
A	0-15	Loam	22.40	33.70	43.90	1.17	46.06	14.44	0.46	7.28	
Bw	15-40	Clay loam	27.80	30.10	42.10	0.39	38.54	15.68	0.35	7.30	
C	40-85	Clay loam	34.90	26.60	38.50	0.39	38.54	19.22	0.33	7.40	
۶ / خاک‌رخ / Profile 6: Typic Calcixerpts											
دشت رسوبی / Physiographic unit: Alluvial plain / واحد فیزیوگرافی											
Ap	0-23	Loam	26.00	35.50	38.50	0.97	29.84	16.98	0.52	7.48	
Bk	23-45	Loam	26.00	35.50	38.50	0.48	54.28	15.56	0.46	7.34	
C	45-85	Clay loam	27.80	39.10	33.10	0.29	50.29	16.42	0.40	7.29	
۷ / خاک‌رخ / Profile 7: Typic Calcixerpts											
تپه / Physiographic unit: Hill / واحد فیزیوگرافی											
Ap	0-20	Loam	26.00	31.90	42.10	0.48	58.51	14.26	0.40	7.39	
Bk1	20-60	Clay loam	27.80	23.00	49.20	0.19	55.69	15.48	0.30	7.32	
Bk2	60-100	Clay loam	31.40	30.10	38.50	0.25	59.69	17.26	0.32	7.37	
C	100-130	Clay loam	29.60	35.50	34.90	0.05	59.69	15.9	0.26	7.45	
۸ / خاک‌رخ / Profile 8: Typic Xerorthents											
تپه / Physiographic unit: Hill / واحد فیزیوگرافی											
A	0-25	Sandy loam	18.90	56.90	24.20	0.39	60.16	10.23	0.42	7.36	
C1	25-60	Loam	18.90	43.00	38.10	0.19	68.86	9.53	0.39	7.36	
C2	60-110	Sandy loam	17.10	57.20	25.70	0.05	68.58	8.64	0.28	7.40	

شکل از پتاسیم در قالب واحد فیزیوگرافی، روند دشت دامنه‌ای ۱/۲۱ (۰ میلی‌گرم بر کیلوگرم) تپه (۰/۹۱ میلی‌گرم بر کیلوگرم) دشت رسوی (۰/۹۱ میلی‌گرم بر کیلوگرم) دشت سیلابی (۰/۷۶ میلی‌گرم بر کیلوگرم) تراس رودخانه‌ای = واریزه‌های بادبزنی ثقلی-آبرفتی (۰/۷۳ میلی‌گرم بر کیلوگرم) یافت شد. پتاسیم تبادلی در بازه ۱۶۴ تا ۴۶۶ با میانگین ۲۷۹ میلی‌گرم بر کیلوگرم در منطقه مطالعاتی متغیر بود که در حدود ۱/۹۱ تا ۱۷/۰۸ و به طور میانگین ۸/۸۴ درصد از پتاسیم کل را شامل گردید. مقادیر کمینه و بیشینه این شکل به ترتیب در افق‌های C خاکرخ ۸ و A خاکرخ ۴ یافت شد که به احتمالاً به دلیل بیشبورد و کمبود مقادیر رس در این افق‌ها و همچنین مقادیر بالای کربن آلی است. همچنین می‌تواند به علت نوع کانی‌رسی، ظرفیت تبادل کاتیونی، نوع و میزان کاتیون‌های جانشین این اتفاق رخ داده باشد (۴۱). در ارتباط با اثر پستی و بلندی بر روی این شکل از پتاسیم در قالب واحد فیزیوگرافی، روند واریزه‌های بادبزنی ثقلی-آبرفتی (۰/۹۶ میلی‌گرم بر کیلوگرم) دشت دشت سیلابی (۰/۳۵۲ میلی‌گرم بر کیلوگرم) تراس رسوی (۰/۳۲۱ میلی‌گرم بر کیلوگرم) تراس رودخانه‌ای (۰/۲۷۰ میلی‌گرم بر کیلوگرم) دشت دامنه‌ای (۰/۲۳۶ میلی‌گرم بر کیلوگرم) تپه (۰/۱۷۲ میلی‌گرم بر کیلوگرم) یافت شد.

بررسی کلی ویژگی‌های فیزیکوشیمیابی خاکرخ‌های مطالعه شده و تکامل خاک آن‌ها نشان داد که از توپوگرافی می‌توان به عنوان فاکتور کنترل‌کننده غالب در منطقه مطالعاتی نام برد، به طوری که شبیه توزیع خاک را توسط فرسایش و تأثیر بر ویژگی‌های خاک سرعت می‌بخشد (۳۸). بنابراین در این مناطق اراضی مرتفع، دارای خاک‌های جوان و فاقد تکامل پروفیلی یا دارای تکامل پروفیلی اندک بوده‌اند، در حالی که در اراضی کم ارتفاع شامل خاک‌های تکامل‌یافته‌تر با افق‌های کلسیک^۱ و آرجیلیک^۲ بوده‌اند. مطالعه تأثیر پستی و بلندی در تحول و تکامل خاک‌های منطقه بیضا در استان فارس نیز چنین مشاهداتی را تأیید کرد (۳۹).

شکل‌های مختلف پتاسیم در ارتباط با پستی و بلندی: همان‌طور که شکل‌های مختلف پتاسیم خاکرخ‌های منطقه مطالعاتی در جدول ۲ نشان داده شده است، مقدار پتاسیم محلول در بازه ۰/۳۹ تا ۳/۹۰ با میانگین ۰/۹۶ میلی‌گرم بر کیلوگرم تغییر داشت که در حدود ۰/۰۰۴ تا ۰/۲۱۰ با میانگین ۰/۰۳۷ درصد از پتاسیم کل منطقه مورد مطالعه را شامل می‌شود. مقادیر کمینه و بیشینه این شکل از پتاسیم به ترتیب در افق C و افق Btk2 خاکرخ ۷ یافت شد. دلیل مشاهده میانگین پایین این شکل از پتاسیم می‌تواند تداوم وجود رطوبت در خاک برای شستشوی آن از خاکرخ باشد. به طور کلی سطح پتاسیم محلول خاک به تخلیه این عنصر در هنگام جذب توسط گیاه، آبشویی، رهاسازی و جایگزینی شکل‌های دیگر پتاسیم از کانی‌های خاک وابسته است (۴۰). در ارتباط با اثر پستی و بلندی بر روی این

1- Calcic

2- Argilic

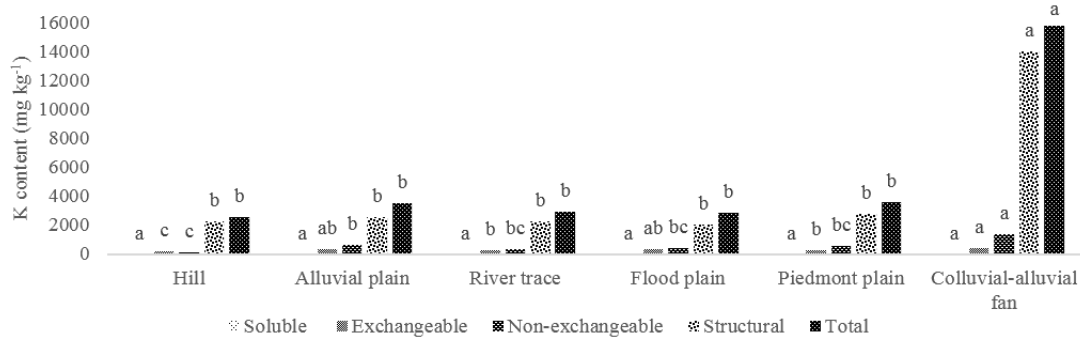
جدول ۲- شکل‌های مختلف پتاسیم و درصد نسبی آن‌ها در ارتباط با پستی و بلندی.

Table 2. Potassium forms contents and their relative percentage in relation with topography.

		شکل‌های پتاسیم خاک Soil potassium forms				
		پتاسیم محلول Soluble potassium	پتاسیم تبادلی Exchangeable potassium	پتاسیم غیرتبادلی Non-exchangeable potassium	پتاسیم ساختمانی Structural potassium	پتاسیم کل Total potassium
واحد فیزیوگرافی Physiographic unit		میلی گرم بر کیلوگرم (درصد نسبی) mg kg^{-1} (relative percentage)				
واریزه پادبزنی Colluvial-alluvial fan	کمینه	0.64	380	1120	3663	5600
	Minimum	(0.003)	(1.91)	(5.74)	(65.42)	(100)
	بیشینه	0.78	456	11480	20491	22400
	Maximum	(0.011)	(8.14)	(26.43)	(92.30)	(100)
دشت دامنه‌ای Piedmont plain	میانگین	0.73	421	1360	14051	15833
	Mean	(0.006)	(4.00)	(12.93)	(83.06)	(100)
	کمینه	1.17	200	372	2334	3320
	Minimum	(0.032)	(5.41)	(9.79)	(70.33)	(100)
دشت رسوئی Alluvial plain	بیشینه	1.28	304	680	3220	3800
	Maximum	(0.035)	(9.16)	(20.48)	(84.76)	(100)
	میانگین	1.21	236	565	2803	3606
	Mean	(0.033)	(6.66)	(15.89)	(77.42)	(100)
دشت سیلانی Flood plain	کمینه	0.78	236	168	1633	2060
	Minimum	(0.017)	(7.38)	(7.88)	(62.69)	(100)
	بیشینه	1.17	428	1200	3226	4660
	Maximum	(0.038)	(12.52)	(27.29)	(84.71)	(100)
تراس رودخانه‌ای River trace	میانگین	0.91	321	656	2541	3520
	Mean	(0.028)	(9.43)	(16.41)	(74.13)	(100)
	کمینه	0.64	258	240	1913	2660
	Minimum	(0.023)	(9.15)	(8.51)	(61.71)	(100)
تپه Hill	بیشینه	0.88	466	720	2321	3100
	Maximum	(0.029)	(15.03)	(23.23)	(82.32)	(100)
	میانگین	0.76	352	436	2071	2860
	Mean	(0.027)	(12.22)	(14.94)	(72.81)	(100)
منطقه مطالعاتی Study area	کمینه	0.64	244	312	2037	2660
	Minimum	(0.023)	(7.58)	(11.73)	(76.59)	(100)
	بیشینه	0.78	310	432	2543	3220
	Maximum	(0.029)	(11.65)	(13.42)	(78.98)	(100)
	میانگین	0.73	270	372	2249	2893
	Mean	(0.26)	(9.48)	(12.81)	(77.68)	(100)
	کمینه	0.39	164	68	726	960
	Minimum	(0.008)	(3.60)	(1.75)	(75.56)	(100)
	بیشینه	3.90	192	128	4567	4860
	Maximum	(0.210)	(17.08)	(8.00)	(94.63)	(100)
	میانگین	1.17	172	88	2292	2556
	Mean	(0.067)	(9.62)	(4.75)	(85.56)	(100)
	کمینه	0.39	164	68.00	726	960
	Minimum	(0.004)	(1.91)	(1.75)	(61.71)	(100)
	بیشینه	3.90	466	1480	20491	22400
	Maximum	(0.210)	(17.08)	(27.29)	(94.63)	(100)
	میانگین	0.96	279	510	3792	4583
	Mean	(0.037)	(8.84)	(12.06)	(79.07)	(100)

میلی‌گرم بر کیلوگرم) > دشت رسوبی (۲۵۴۱ میلی‌گرم بر کیلوگرم) > تپه (۲۲۹۲ میلی‌گرم بر کیلوگرم) > تراس رودخانه‌ای (۲۲۴۹ میلی‌گرم بر کیلوگرم) > دشت سیلابی (۲۰۷۱ میلی‌گرم بر کیلوگرم) یافت شد. پتاسیم کل در بازه ۹۶۰ تا ۲۲۴۰۰ با میانگین ۴۵۸۳ میلی‌گرم بر کیلوگرم در منطقه مطالعاتی متغیر بود. مقادیر کمینه و بیشینه این شکل به ترتیب در افق‌های C2 خاکرخ ۸ و A خاکرخ ۱ یافت شد. دلیل این مشاهده هوادیدگی مناسب است. در ارتباط با اثر پستی و بلندی بر روی این شکل از پتاسیم در قالب واحد فیزیوگرافی، روند واریزه‌های بادبزنی ثقلی-آبرفتی (۱۵۸۳۳ میلی‌گرم بر کیلوگرم) > دشت دامنه‌ای (۳۶۰۶ میلی‌گرم بر کیلوگرم) > دشت رسوبی (۳۵۲۰ میلی‌گرم بر کیلوگرم) > تراس رودخانه‌ای (۲۸۹۳ میلی‌گرم بر کیلوگرم) > دشت سیلابی (۲۸۶۰ میلی‌گرم بر کیلوگرم) > تپه (۲۵۵۴ میلی‌گرم بر کیلوگرم) یافت شد. مشاهدات به طور کلی نشان داد پستی و بلندی با کترول رطوبت (مقدار بارندگی یا رواناب سطحی)، میزان دریافت تابش خورشید و همچنین سرعت بخشیدن به فرآیند هوادیدگی در قالب افزایش عمق و تکامل خاک بر مقدار پتاسیم منطقه و شکل‌های آن اثر گذاشته است. با توجه به شکل ۲، پتاسیم کل و مقادیر تمامی شکل‌های پتاسیم به جز شکل محلول در واحدهای فیزیوگرافی مختلف دارای تفاوت معنی‌دار ($P < 0.05$) بودند. یافته‌های حاضر نشان داد که پستی و بلندی می‌تواند توزیع شکل‌های مختلف پتاسیم تغییر دهد. مطالعات پیشین نیز تغییرات قابل توجهی در شکل‌های مختلف پتاسیم در امتداد موقعیت‌های مختلف پستی و بلندی شبیه خاک را مرتبط با تفاوت هوادیدگی کانی‌ها و شرایط رئومورفولوژیکی دانسته‌اند (۲۷).

پتاسیم غیرتبدالی در بازه ۶۸۰۰ تا ۱۴۸۰ با میانگین ۵۱۰ میلی‌گرم بر کیلوگرم در منطقه مطالعاتی متغیر بود که در حدود ۱/۷۵ تا ۲۷/۲۹ و به طور میانگین ۱۲۰۶ درصد از پتاسیم کل را شامل گردید. مقادیر کمینه و بیشینه این شکل به ترتیب در افق Bw خاکرخ ۲ به دلیل آبشویی و نوع رس و افق A خاکرخ ۱ به دلیل هوادیدگی نسبتاً قوی کانی‌های حاوی پتاسیم در خاک سطحی یافت شد. این شکل از پتاسیم به راحتی در دسترس گیاه قرار نمی‌گیرد اما با سطح ذخایر پتاسیم قابل تبدال و محلول خاک در ارتباط است (۴۲). هم‌چنین این شکل از پتاسیم در بین لایه‌های کانی‌های ۲:۱ محبوس شده و می‌تواند به تدریج آزاد شود (۴۳). در ارتباط با اثر پستی و بلندی بر روی این شکل از پتاسیم در قالب واحد فیزیوگرافی، روند واریزه‌های بادبزنی ثقلی-آبرفتی (۱۳۶۰ میلی‌گرم بر کیلوگرم) > دشت رسوبی (۶۵۶ میلی‌گرم بر کیلوگرم) > دشت دامنه‌ای (۵۶۵ میلی‌گرم بر کیلوگرم) > دشت سیلابی (۴۳۶ میلی‌گرم بر کیلوگرم) > تراس رودخانه‌ای (۳۷۲ میلی‌گرم بر کیلوگرم) > تپه (۸۸ میلی‌گرم بر کیلوگرم) یافت شد. پتاسیم ساختمانی در بازه ۲۰۴۹۱ تا ۷۲۶ با میانگین ۳۷۹۲ میلی‌گرم بر کیلوگرم در منطقه مطالعاتی متغیر بود که در حدود ۶۱/۷۱ تا ۹۴/۶۳ و به طور میانگین ۷۹/۰۷ درصد از پتاسیم کل را شامل گردید. مقادیر کمینه و بیشینه این شکل به ترتیب در افق‌های C2 خاکرخ ۸ و A خاکرخ ۱ یافت شد که این اختلاف به دلیل افزایش هوادیدگی و تکامل خاک و کاهش این شکل از پتاسیم در اثر ناپایداری کانی‌های میکا و کاهش آن‌هاست (۴۴). در ارتباط با اثر پستی و بلندی بر روی این شکل از پتاسیم در قالب واحد فیزیوگرافی، روند واریزه‌های بادبزنی ثقلی-آبرفتی (۱۴۰۵۱ میلی‌گرم بر کیلوگرم) > دشت دامنه‌ای (۲۸۰۳)



شکل ۲- مقایسه شکل های مختلف پتاسیم در ارتباط با واحد فیزیوگرافی. حروف مختلف بیانگر تفاوت معنی دار در سطح $0/05$ درصد است.

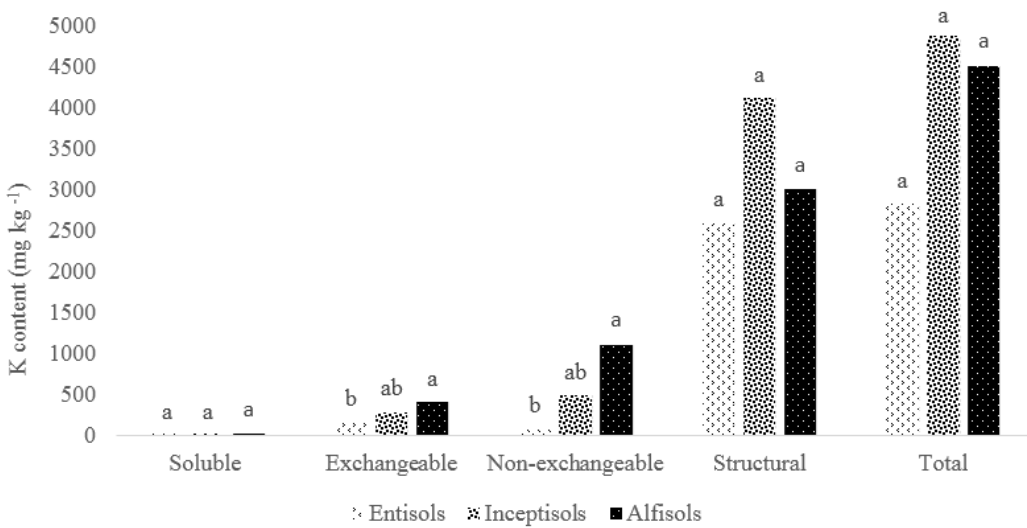
Figure 2. Different K forms comparison in relation with physiographic units. Means followed by different letters are significantly different at $P<0.05$.

میلی گرم بر کیلوگرم) $<$ انتی سول (720 میلی گرم بر کیلوگرم) بود. این شکل از پتاسیم در بین لایه های کانی های $2:1$ محبوس شده و می تواند به تدریج آزاد شود. اگرچه آبشویی، نوع رس غالب و همچنین میزان هوادیدگی هر یک به صورت جداگانه بر تغییرات مقادیر پتاسیم غیرتبادلی اثر می گذارد اما هنگام تفسیر مشاهدات، اثر تلفیقی تغییرات آنها را باید مدنظر قرار داد. توزیع شکل ساختمانی به صورت اینسپتی سول (410 میلی گرم بر کیلوگرم) $<$ آلفی سول (2993 میلی گرم بر کیلوگرم) بود. مشاهده چنین روندی احتمالاً به دلیل ناپایداری میکا و کاهش آن در راسته های مورد بررسی است (44). علی رغم این که هوادیدگی نیز می تواند تأثیر به سزا یابی روی این روند داشته باشد، عواملی همچون ماده مادری آهکی و زمین شناسی منطقه مورد مطالعه نیز در این مشاهده مزید بر علت هستند. همچنین تفاوت میزان رطوبت دریافتی سالانه (به شکل رواناب از بالا دست یا به شکل بارندگی و آبیاری) روی نقاط مختلف ردیف پستی و بلندی مورد بررسی و تفاوت زهکشی آنها می تواند سبب تغییر میزان هوادیدگی خاک و در نهایت توزیع شکل ساختمانی پتاسیم گردد. از آنجایی که قسمت عمده پتاسیم کل خاک را پتاسیم ساختمانی تشکیل می دهد،

شکل های مختلف پتاسیم در ارتباط با سطوح مختلف رده بندی: به منظور بررسی ارتباط سطوح مختلف رده بندی با توزیع شکل های مختلف پتاسیم، چهار سطح راسته، زیر راسته، گروه بزرگ و زیر گروه انتخاب شدند. در ارتباط با سطح رده بندی راسته، سه راسته خاک انتی سول، اینسپتی سول و آلفی سول در منطقه شناسایی شد که این سه راسته در توزیع پتاسیم کل و شکل های مختلف پتاسیم به جز شکل های تبادلی و غیر تبادلی با یکدیگر اختلاف معنی داری ($P<0.05$) نداشتند (شکل ۳). روند توزیع شکل محلول به صورت اینسپتی سول ($0/97$ میلی گرم بر کیلوگرم) $<$ آلفی سول = انتی سول ($0/91$ میلی گرم بر کیلوگرم) بود. چنین مشاهده ای احتمالاً به دلیل قرار گرفتن خاک رخ های مطالعه شده روی نقاط پایدار و ناپایدار ژئومورفیک که آبشویی پتاسیم محلول را از بدن خاک کنترل می کند، رخ داده است. روند توزیع شکل تبادلی به صورت آلفی سول (399 میلی گرم بر کیلوگرم) $<$ اینسپتی سول (278 میلی گرم بر کیلوگرم) $<$ انتی سول (164 میلی گرم بر کیلوگرم) بود که احتمالاً به دلیل وجود تفاوت در مقادیر کربن آلی، مقادیر رس و توزیع کانی های رسی این راسته ها باشد (41). روند توزیع شکل غیر تبادلی به صورت آلفی سول (1106 میلی گرم بر کیلوگرم) $<$ اینسپتی سول (485

بود (۳۱). عدم مشابهت کامل نتایج فعلی با مطالعات پیشین می‌تواند به دلیل اثر توپوگرافی در ایجاد تفاوت معنی‌دار توزیع شکل‌های مختلف پتابسیم باشد.

روند توزیع مشابه با شکل ساختمانی یافت شد. روند افزایش شکل‌های مختلف پتابسیم استخراج شده در رابطه با تکامل خاک در راسته‌های مختلف خاک تا حدودی در راستای تأیید یافته‌های مطالعات پیشین



شکل ۳- مقایسه شکل‌های مختلف پتابسیم در ارتباط با سطح رده‌بندی (راسته). حروف مختلف بیانگر تفاوت معنی‌دار در سطح $P<0.05$ درصد است.

Figure 3. Different K forms comparison in relation with classification levels (order). Means followed by different letters are significantly different at $P<0.05$.

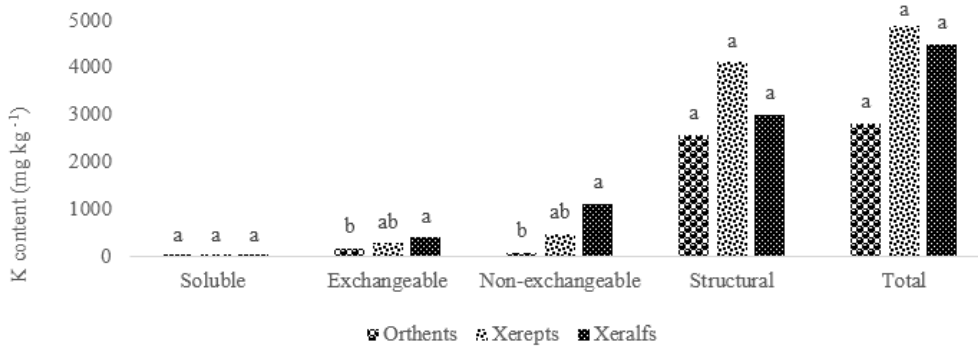
بنابراین از آنجایی که رژیم‌های رطوبتی و حرارتی (عامل اقلیم) در یک منطقه با مقیاس کوچک تغییرات گسترده‌ای ندارند، می‌توان بیان نمود که این مشاهده منطقی به نظر می‌رسد. روند توزیع شکل محلول به صورت زرپتز ($97/0$ میلی‌گرم بر کیلوگرم) $>$ زرآلفر = ارتنتز ($91/0$ میلی‌گرم بر کیلوگرم) و روند توزیع شکل تبادلی به صورت زرآلفر (399 میلی‌گرم بر کیلوگرم) $>$ زرپتز (278 میلی‌گرم بر کیلوگرم) $>$ ارتنتز (164 میلی‌گرم بر کیلوگرم) می‌باشد. روند برای توزیع شکل غیرتبادلی به صورت زرآلفر ($110/6$ میلی‌گرم بر کیلوگرم) $>$ زرپتز (485 میلی‌گرم بر کیلوگرم) $>$ ارتنتز (720 میلی‌گرم بر کیلوگرم) و روند برای توزیع شکل ساختمانی به صورت زرپتز (4110 میلی‌گرم بر کیلوگرم) $>$ زرآلفر (2993 میلی‌گرم بر

در ارتباط با سطح رده‌بندی زیرراسته، سه زیرراسته خاک اُرتنتز^۱، زرپتز^۲ و زرآلفر^۳ در منطقه شناسایی شد که این سه زیرراسته در توزیع پتابسیم کل و شکل‌های مختلف پتابسیم به جز شکل‌های تبادلی و غیرتبادلی با یکدیگر اختلاف معنی‌داری ($P<0.05$) نداشتند (شکل ۴). دلیل این مشاهده می‌تواند به این موضوع برگردد که در سطح رده‌بندی زیرراسته عمدۀ تغییرات و نام‌گذاری‌ها بر مبنای اقلیم و وجود یا عدم وجود آب‌گرفتگی می‌باشد مگر در موارد خاصی مانند راسته اریدی‌سول‌ها^۴ که از افق‌های مشخصه نیز در نام‌گذاری زیرراسته به عنوان مبنا استفاده می‌شوند.

- 1- Othents
- 2- Xerepts
- 3- Xeralfs
- 4- Aridisols

سطح زیرراسته نیز با دلایل ذکر شده در مورد راسته قابل توجیه است.

کیلوگرم) > اُرتنتز (۲۵۸۳ میلیگرم بر کیلوگرم) مشاهده شد. پتاسیم کل نیز روند مشابه با شکل ساختمانی را نشان داد. روندهای مشاهده شده در



شکل ۴- مقایسه شکل‌های مختلف پتاسیم در ارتباط با سطح رده‌بندی (زیرراسته). حروف مختلف بیانگر تفاوت معنی‌دار در سطح $P<0.05$ درصد است.

Figure 4. Different K forms comparison in relation with classification levels (suborder). Means followed by different letters are significantly different at $P<0.05$.

روند توزیع شکل تبادلی به صورت هاپلوزرآلفر (۳۹۹ میلیگرم بر کیلوگرم) > هاپلوزرپتر (۳۲۰ میلیگرم بر کیلوگرم) > کلسیزrpتر (۲۰۶ میلیگرم بر کیلوگرم) > زرآرتنتر (۱۶۴ میلیگرم بر کیلوگرم) می‌باشد. روند برای توزیع شکل غیرتبادلی به صورت هاپلوزرآلفر (۱۱۰ میلیگرم بر کیلوگرم) > هاپلوزرپتر (۷۸۳ میلیگرم بر کیلوگرم) > کلسیزrpتر (۱۴۵ میلیگرم بر کیلوگرم) و روند برای توزیع شکل ساختمانی به صورت هاپلوزرپتر (۵۲۹۳ میلیگرم بر کیلوگرم) > هاپلوزرآلفر (۲۹۹۳ میلیگرم بر کیلوگرم) > زرآرتنتر (۲۵۸۳ میلیگرم بر کیلوگرم) > کلسیزrpتر (۲۰۸۰ میلیگرم بر کیلوگرم) مشاهده شد. پتاسیم کل نیز روند مشابه با شکل ساختمانی را نشان داد. روندهای مشاهده شده در سطح گروه بزرگ علاوه بر دلایل ذکر شده در مورد راسته و زیرراسته به دلیل تاثیر وجود افق‌های مختلف مانند کمیک^۱، کلسیک و آرجیلیک قابل توجیه است.

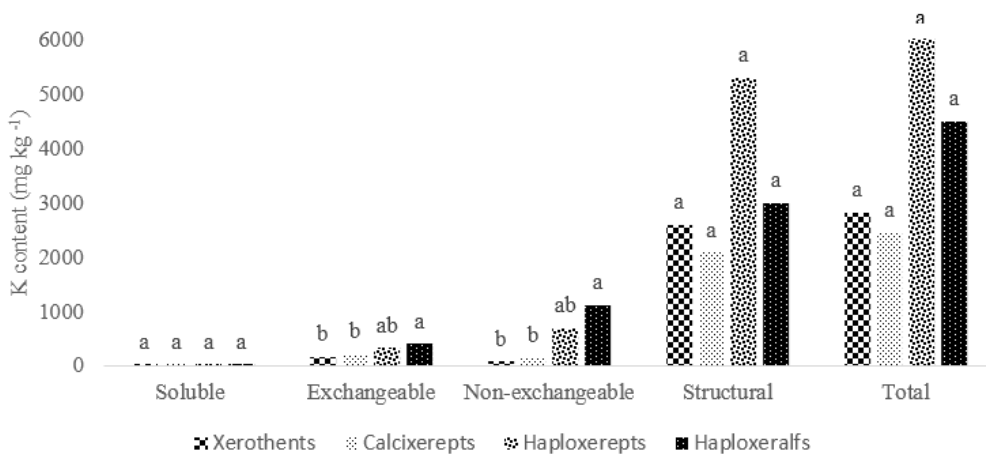
در ارتباط با سطح رده‌بندی گروه بزرگ، چهار گروه بزرگ خاک زرآرتنتر^۱، هاپلوزرپتر^۲، کلسیزrpتر^۳ و هاپلوزرآلفر^۴ در منطقه شناسایی شد که این چهار گروه بزرگ در توزیع پتاسیم کل و شکل‌های مختلف پتاسیم به جز شکل‌های تبادلی و غیرتبادلی با یکدیگر اختلاف معنی‌داری ($P<0.05$) نداشتند (شکل ۵). این مشاهده می‌تواند به این دلیل باشد که در سطح رده‌بندی گروه بزرگ، نام‌گذاری‌ها بر مبنای افق‌های مشخصه می‌باشد. بنابراین عدم وجود تغییرات گستردۀ مرتبط با عامل اقلیم در منطقه مطالعاتی که کوچک مقیاس هستند و هم‌چنین پرداختن کم‌تر به تفاوت‌های موجود در افق‌های مشخصه شناسایی شده می‌تواند منجر به چنین مشاهده‌ای شود. روند توزیع شکل محلول به صورت کلسیزrpتر (۱۱۷ میلیگرم بر کیلوگرم) > هاپلوزرآلفر = زرآرتنتر (۹۱۰ میلیگرم بر کیلوگرم) > هاپلوزرپتر (۸۶۰ میلیگرم بر کیلوگرم) و

1- Xerorthents

2- Haploxerepts

3- Calcixerpts

4- Haploixeralfs



شکل ۵- مقایسه شکل‌های مختلف پتاسیم مرتبه با سطح رده‌بندی (گروه بزرگ). حروف مختلف بیانگر تفاوت معنی‌دار در سطح $P<0.05$ درصد است.

Figure 5. Different K forms comparison in relation with classification levels (great groups). Means followed by different letters are significantly different at $P<0.05$.

کیلوگرم) < مالیک هاپلوزرآلفز = تیپیک زرآرتنتز $0.91 \text{ میلیگرم بر کیلوگرم}$) < تیپیک هاپلوزرپیتر $0.86 \text{ میلیگرم بر کیلوگرم}$ و روند توزیع شکل تبادلی به صورت مالیک هاپلوزرآلفز $399 \text{ میلیگرم بر کیلوگرم}$) < تیپیک هاپلوزرپیتر ($320 \text{ میلیگرم بر کیلوگرم}$) < تیپیک کلسیزربتر ($206 \text{ میلیگرم بر کیلوگرم}$) < تیپیک زرآرتنتز ($164 \text{ میلیگرم بر کیلوگرم}$) می‌باشدند. روند برای توزیع شکل غیرتبادلی به صورت مالیک هاپلوزرآلفز ($110.6 \text{ میلیگرم بر کیلوگرم}$) < تیپیک هاپلوزرپیتر ($68.3 \text{ میلیگرم بر کیلوگرم}$) < تیپیک کلسیزربتر ($14.5 \text{ میلیگرم بر کیلوگرم}$) < تیپیک زرآرتنتز ($72.0 \text{ میلیگرم بر کیلوگرم}$) و روند برای توزیع شکل ساختمانی به صورت تیپیک هاپلوزرپیتر ($529.3 \text{ میلیگرم بر کیلوگرم}$) < مالیک هاپلوزرآلفز ($299.3 \text{ میلیگرم بر کیلوگرم}$) < تیپیک زرآرتنتز ($258.3 \text{ میلیگرم بر کیلوگرم}$) < تیپیک کلسیزربتر ($20.80 \text{ میلیگرم بر کیلوگرم}$) مشاهده شد. پتاسیم کل نیز روندی مشابه با شکل ساختمانی داشت.

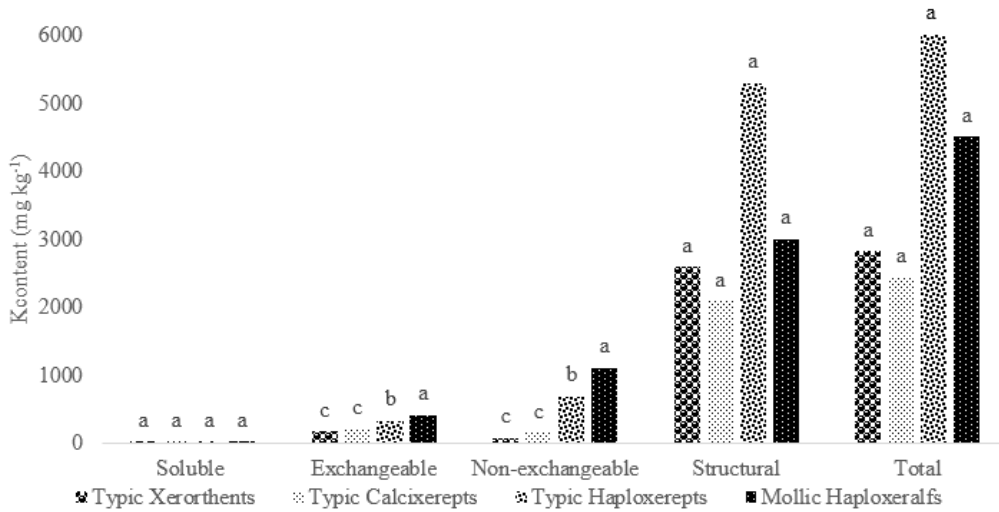
در ارتباط با سطح رده‌بندی زیرگروه، چهار زیرگروه خاک تیپیک زرآرتنتز^۱، تیپیک هاپلوزرپیتر^۲، تیپیک کلسیزربتر^۳ و مالیک هاپلوزرآلفز^۴ در منطقه شناسایی شد که این چهار زیرگروه در توزیع پتاسیم کل و شکل‌های مختلف پتاسیم به جز شکل‌های تبادلی و غیرتبادلی با یکدیگر اختلاف معنی‌داری ($P<0.05$) نداشتند (شکل ۶). این مشاهده می‌تواند به این دلیل باشد که در سطح رده‌بندی زیرگروه نام‌گذاری‌ها بر مبنای این‌که تمامی یا بخشی از ویژگی‌های گروه بزرگ خود را داشته باشند و همچنین مشخصات اصلی راسته خود یا سایر راسته‌ها داشته باشند، می‌باشد. بنابراین چنین تغییرات جزیی در ماهیت خاک‌ها می‌تواند به اختلاف‌های معنی‌دار در شکل‌هایی از پتاسیم مانند شکل محلول و تبادلی که به عوامل خاکی و محیطی بیشتری وابسته هستند، منجر شود. با توجه به این موارد، روند توزیع شکل محلول به صورت تیپیک کلسیزربتر ($117 \text{ میلیگرم بر$

1- Typic Xerotherents

2- Typic Haploxerepts

3- Typic Calcixerpts

4- Mollic Haploixeralfs



شکل ۶- مقایسه شکل های مختلف پتانسیم مرتبط با سطح رده بندی (زیر گروه). حروف مختلف بیانگر تفاوت معنی دار در سطح $0/05$ درصد است.

Figure 6. Different K forms comparison in relation with classification levels (subgroups). Means followed by different letters are significantly different at $P<0.05$.

زهکشی و...) و همچنین مدیریت مختلف اراضی (چه به لحاظ سطوح تصمیم گیری انسان و چه به لحاظ کاربری اراضی) است.

نتیجه گیری

بررسی خاکرخهای مطالعاتی نشان داد که خاکها در راسته های انتی سول، اینسپتی سول و آلفی سول با توجه به سیستم رده بندی تاکسونومی ۲۰۱۴ قرار گرفتند. پستی و بلندی با ایجاد ریز اقلیم بر روی تشکیل و تکامل خاک های منطقه مطالعاتی تأثیر می گذارد به طوری که با کنترل رطوبت (مقدار بارندگی یا رواناب سطحی)، میزان دریافت تابش خورشید و همچنین سرعت بخشیدن به فرآیند هوادیدگی می تواند تفاوت های در سطوح مختلف رده بندی آنها ایجاد کند. پتانسیم کل در منطقه به طور میانگین ۴۵۸۳ میلی گرم بر کیلوگرم بود که با میزان رس و کانی های رسی حاوی پتانسیم مرتبط بود که این دو عامل نیز توسط میزان تکامل خاک و هوادیدگی پذو شیمیابی کنترل می گردند. در ارتباط با سطوح مختلف رده بندی،

با وجود این که مطالعه حاضر اثر سطوح مختلف رده بندی و پستی و بلندی را به خوبی مورد بررسی و تحلیل قرار داد اما اثر سایر عوامل مؤثر در تشکیل و تکامل خاک مانند کانی شناسی خاک و اثر ماده مادری نباید فراموش شود. بنابراین در ادامه مطلب اشاره ای گذرا به این موارد که سبب تغییرات احتمالی در توزیع شکل های مختلف پتانسیم می شوند، خواهد شد. با توجه به این که مواد مادری در خاکرخهای مورد مطالعه یکسان و آهکی بوده است، بنابراین اثر تقریباً یکسانی بر روی شکل های مختلف پتانسیم داشته است. از طرفی دیگر، کانی های مهم یافت شده در خاکرخهای مختلف منطقه مطالعاتی شامل ایلیت، کلریت، کائولینیت، اسمکتیت و کانی های مخلوط لایه بودند که توزیع نسبتاً مشابهی در سطح و عمق داشتند و سبب ایجاد تغییرات جزئی در شکل های مختلف پتانسیم خاکرخها شدند. باید در نظر داشت که تعمیم نتایج این پژوهش به سایر خاکها نیازمند بررسی و مشابهت کامل عوامل تعیین کننده متعدد (مانند کانی های خاک و درصد تغییرات آنها، توپوگرافی،

برای دستیابی به کشاورزی پایدار باید حداقل از طبقه‌بندی خاک‌ها در سطح فامیل استفاده نمود تا تفاوت‌ها بهتر درک شود. با این حال نباید اثر نوع ماده مادری، اقلیم، توپوگرافی و دیگر شرایط دخیل در انتخاب میزان دقت مطالعه مناطق مختلف را فراموش نمود.

شکل‌های پتاسیم تبادلی و غیرتبادلی در سطوح مختلف تفاوت معنی‌دار ($P<0.05$) از خود نشان دادند. دلیل این امر عدم کاربرد اختلافات بسیار فاچش در سطوح مختلف رده‌بندی تا سطح زیرگروه توسط سیستم طبقه‌بندی آمریکایی بود. بنابراین پیشنهاد می‌گردد به منظور پایش بهتر عنصر پتاسیم

منابع

- 1.Jenny, H. (1941). Factors of soil formation. *Mc Graw - Hill*, New York. 281p.
- 2.Tsubo, M., Basnayake, J., Fukai, S., Sihathep, V., Siyavong, P., Sipaseuth, & Chanphengsay, M. (2006). Toposequential effects on water balance and productivity in rainfed lowland rice ecosystem in Southern Laos. *Field Crops Research*, 97 (2-3), 209-220. doi:[10.1016/j.fcr.2005.10.004](https://doi.org/10.1016/j.fcr.2005.10.004).
- 3.Bispo, F. H. A., Silva, A. C., & Torrado, P. V. (2011). Highlands of the upper Jequitinhonha valley, Brazil: I-characterization and classification. *Revista Brasileira de Ciência do Solo*, 35, 1069-1080. doi:[10.1590/S0100-06832011000400001](https://doi.org/10.1590/S0100-06832011000400001).
- 4.Duda, B. M., Weindorf, D. C., Chakraborty, S., Li, B., Man, T., Paulette, L., & Deb, S. (2017). Soil characterization across catenas via advanced proximal sensors. *Geoderma*, 298, 78-91. doi:[10.1016/j.geoderma.2017.03.017](https://doi.org/10.1016/j.geoderma.2017.03.017).
- 5.Samndi, M. A., & Tijjani, M. A. (2014). Distribution of potassium forms along a hillslope positions of newer basalt on the Jos Plateau Nigeria. *International Journal of Soil Science*, 9 (3), 90-100. doi:[10.3923/ijss.2014.90.100](https://doi.org/10.3923/ijss.2014.90.100).
- 6.Spector, C. (2001). Soil Forming Factors: The Story of Rocks and Soil. NASA's Goddard Space Flight Center.
- 7.Mahmoodi, S. H., Heydari, A., Masihabadi, M. H., & Stoops, G. (2007). Soil-landscape relationship as indicated by micromorphological data on selected soils from Karaj Basin, Iran. *Journal of Agricultural Science and Technology*, 9 (2), 153-164. doi:[20.1001.1.16807073.2007.9.2.9.6](https://doi.org/10.1001.1.16807073.2007.9.2.9.6).
- 8.Egli, M., Merkli, C., Sartori, G., Mirabella, A., & Plötze, M. (2008). Weathering, mineralogical evolution and soil organic matter along a Holocene soil toposequence developed on carbonate-rich materials. *Geomorphology*, 97 (3-4), 675-696. doi:[10.1016/j.geomorph.2007.09.011](https://doi.org/10.1016/j.geomorph.2007.09.011).
- 9.Gupta, C. K., Wadood, A., Kumar, R., Kumari, P., & Prasad, S. M. (2020). Effect of Topo-sequence on Physical and Chemical Soil Properties of Hazaribagh, Jharkhand. *Journal of Agricultural Physics*, 20(1), 82-86. ISSN 0973-032X.
- 10.Russell, E.W. (1961). Soil conditions and plant growth. *Longmans*, London, UK. 536p.
- 11.Marschner, P. (2012). In Marschner's Mineral Nutrition of Higher Plants, third Ed. Academic Press, San Diego. 650p.
- 12.Lalitha, M., & Dhakshinamoorthy, M. (2014). Forms of soil potassium-a review. *Agricultural reviews*, 35 (1), doi:[64-68.10.5958/j.0976-0741.35.1.008](https://doi.org/10.5958/j.0976-0741.35.1.008).
- 13.Sahai, V. N. (2011). Fundamentals of Soil. *New Delhi: Kalyani Printings*.
- 14.Lakudzala, D. D. (2013). Potassium response in some Malawi soils. *International Letters of Chemistry, Physics and Astronomy*, 8, 175-181. doi: [bwmeta1.element.baztech-article-BPS2-0070-0008](https://doi.org/bwmeta1.element.baztech-article-BPS2-0070-0008).
- 15.Römhild, V., & Neumann, G. (2006). The rhizosphere: contributions of the soil-root interface to sustainable soil systems. *Biological Approaches to Sustainable Soil Systems*, 92-107.
- 16.Al-Zubaidi, A., Bashour, I., Darwish, T., & Safieddin, M. (2011). Content of different forms of potassium in Lebanese soils. *International Potash Institute*, 28, 22-25.

17. Reza, S. K., Baruah, U., Chattopadhyay, T., & Sarkar, D. (2014). Distribution of forms of potassium in relation to different agroecological regions of North-Eastern India. *Archives of Agronomy and Soil Science*, 60 (4), 507-518. doi: [10.1080/03650340.2013.800943](https://doi.org/10.1080/03650340.2013.800943).
18. Zörb, C., Senbayram, M., & Peiter, E. (2014). Potassium in agriculture—status and perspectives. *Journal of Plant Physiology*, 171 (9), 656-669. doi: [10.1016/j.jplph.2013.08.008](https://doi.org/10.1016/j.jplph.2013.08.008).
19. Öborn, I., Andrist-Rangel, Y., Askegaard, M., Grant, C. A., Watson, C. A., & Edwards, A. C. (2005). Critical aspects of potassium management in agricultural systems. *Soil Use and Management*, 21 (1), 102-112. doi: [10.1111/j.1475-2743.2005.tb00114.x](https://doi.org/10.1111/j.1475-2743.2005.tb00114.x).
20. Duda, B. M., Weindorf, D. C., Chakraborty, S., Li, B., Man, T., Paulette, L., & Deb, S. (2017). Soil characterization across catenas via advanced proximal sensors. *Geoderma*, 298, 78-91. doi: [10.1016/j.geoderma.2017.03.017](https://doi.org/10.1016/j.geoderma.2017.03.017).
21. Winzeler, H. E., Owens, P. R., Joern, B. C., Camberato, J. J., Lee, B. D., Anderson, D. E., & Smith, D. R. (2008). Potassium fertility and terrain attributes in a Fragiudalf drainage Catena. *Soil Science Society of America Journal*, 72 (5), 1311-1320. doi: [10.2136/sssaj2007.0382](https://doi.org/10.2136/sssaj2007.0382).
22. Simonsson, M., Andersson, S., Andrist-Rangel, Y., Hillier, S., Mattsson, L., & Öborn, I. (2007). Potassium release and fixation as a function of fertilizer application rate and soil parent material. *Geoderma*, 140 (1-2), 188-198. doi: [10.1016/j.geoderma.2007.04.002](https://doi.org/10.1016/j.geoderma.2007.04.002).
23. Malakouti, M. J. (1999). Iran confronts the imbalances in fertilizer use. *Inentooa otsFnitt Basel Switerlan*, 11-25.
24. Brennan, R. F., & Bell, M. J. (2013). Soil potassium-crop response calibration relationships and criteria for field crops grown in Australia. *Crop and Pasture Science*, 64 (5), 514-522. doi: [10.1071/CP13006](https://doi.org/10.1071/CP13006).
25. Andrist-Rangel, Y., Hillier, S., Öborn, I., Lilly, A., Towers, W., Edwards, A. C., & Paterson, E. (2010). Assessing potassium reserves in northern temperate grassland soils: A perspective based on quantitative mineralogical analysis and aqua-regia extractable potassium. *Geoderma*, 158 (3-4), 303-314. doi: [10.1016/j.geoderma.2010.05.010](https://doi.org/10.1016/j.geoderma.2010.05.010).
26. Tóth, G., Jones, A., & Montanarella, L. (2013). The LUCAS topsoil database and derived information on the regional variability of cropland topsoil properties in the European Union. *Environmental Monitoring and Assessment*, 185, 7409-7425. doi: [10.1007/s10661-013-3109-3](https://doi.org/10.1007/s10661-013-3109-3).
27. Shakeri, S., & Abtahi, A. (2020). Potassium fixation capacity of some highly calcareous soils as a function of clay minerals and alternately wetting-drying. *Archives of Agronomy and Soil Science*, 66 (4), 445-457. doi: [10.1080/03650340.2019.1619176](https://doi.org/10.1080/03650340.2019.1619176).
28. Obi, J. C., Ibia, T. O., & Eshiet, P. B. (2016). Effect of land use on potassium form of coastal plain sands of Nigeria. *Chemistry and Ecology*, 32 (3), 238-258. doi: [10.1080/02757540.2015.1136293](https://doi.org/10.1080/02757540.2015.1136293).
29. Ghiri, M. N., Abtahi, A., Owliaie, H., Hashemi, S. S., & Koohkan, H. (2011). Factors affecting potassium pools distribution in calcareous soils of southern Iran. *Arid Land Research and Management*, 25 (4), 313-327. doi: [10.1080/15324982.2011.602177](https://doi.org/10.1080/15324982.2011.602177).
30. Schafer, B.M., & McGarity, J.W. (1980). Genesis of red and dark brown soils on basaltic parent materials near Armidale, NSW, Australia. *Geoderma*, 23 (1), 31-47. doi: [10.1016/0016-7061\(80\)90047-6](https://doi.org/10.1016/0016-7061(80)90047-6).
31. Sadri, N., Owliaie, H. R., Adhami, E., & Najafi Ghiri, M. (2016). Investigation of different forms of potassium as a function of clay mineralogy and soil evolution in some soils of Fars province. *Water and Soil*, 30 (1), 172-185. doi: [10.22067/JSW.V30I1.38048](https://doi.org/10.22067/JSW.V30I1.38048). [In Persian]
32. Staff, S. S. (2014). Keys to Soil Taxonomy, 12th Edn Washington. DC: Natural Resources Conservation Service, United States Department of Agriculture. 372p.

33. Rowell, D. L. (1994). Soil science: Methods and applications. *Harlow, Essex (UK): Longman Scientific and Technical.* 405p.
34. Loepert, R. H., & Suarez, D. L. (1996). Carbonate and gypsum. In: Sparks, D. L., Page, A. L., Helmke, P. A., Loepert, R. H., Soltanpour, P. N., Tabatabai, M. A., Johnston, C. T., Sumner, M. E. (Eds.), Methods of Soil Analysis, Part 3, Chemical and Microbiological Properties. *American Society of Agronomy and Soil Science Society of America*, Madison, Wisconsin, USA, 437-474.
35. Nelson, D.W., & Sommers, L.E. (1996). Total carbon, organic carbon, and organic matter, in: Sparks, D. L., Page, A. L., Helmke, P. A., Loepert, R. H., Soltanpour, P. N., Tabatabai, M. A., Johnston, C. T., Sumner, M. E. (Eds.), Methods of Soil Analysis, Part 3, Chemical and Microbiological Properties. *American Society of Agronomy and Soil Science Society of America*, Madison, Wisconsin, USA, 961-1010.
36. Chapman, H. D. (1965). Cation-Exchange Capacity. In Methods of Soil Analysis, A.G. Norman (Ed) Part 2, Chemical and Microbiological Properties. *American Society of Agronomy and Soil Science Society of America*, Madison, Wisconsin, USA, 891-901
37. Helmke, P., & Sparks, D. L. (1996). Lithium, sodium, potassium, rubidium, and cesium. In: Sparks, D. L., Page, A. L., Helmke, P. A., Loepert, R. H., Soltanpour, P. N., Tabatabai, M. A., Johnston, T., Sumner, M. E. (Eds.), Methods of Soil Analysis, Part 3, Chemical Methods. *American Society of Agronomy and Soil Science Society of America*, Madison, Wisconsin, USA, 551-574.
38. Afshar, F. A., Ayoubi, S., & Jalalian, A. (2010). Soil redistribution rate and its relationship with soil organic carbon and total nitrogen using ^{137}Cs technique in a cultivated complex hillslope in western Iran. *Journal of environmental radioactivity*, 101 (8), 606-614. doi: **10.1016/j.jenvrad.2010.03.008**.
39. Zareian, G. H., & Baghernezhad, M. (2007). The effect of topography on the evolution and diversity of soil clay minerals Fars Bayzay the province. *Soil and Water Research*. 14, 46-56. [In Persian]
40. Kirkman, J. H., Basker, A., Surapaneni, A., & MacGregor, A. N. (1994). Potassium in the soils of New Zealand-a review. *New Zealand Journal of Agricultural Research*, 37 (2), 207-227. doi: **10.1080/00288233.1994.9513059**.
41. Sparks, D. L. (2000). Bioavailability of Soil Potassium. *Handbook Of Soil*. CRC Press, New York. 16p.
42. Zhou, J. M., & Wang, H. Y. (2008). K forms and transformation in soils. In: Zhou, J. M., Magen, H. (Eds.) Soil potassium dynamics and K fertilizer management (in Chinese). *Hehai University Press*, Nanjing. 3-9.
43. Rees, G. L., Pettygrove, G. S., & Southard, R. J. (2013). Estimating plant-available potassium in potassium-fixing soils. *Communications in soil science and plant analysis*, 44 (1-4), 741-748. doi: **10.1080/00103624.2013.748129**.
44. Sharma, A., Jalali, V. K., & Arora, S. 2010. Non-exchangeable potassium release and its removal in foot-hill soils of North-west Himalayas. *Catena*, 82 (2), 112-117. doi: **10.1016/j.catena.2010.05.009**.

